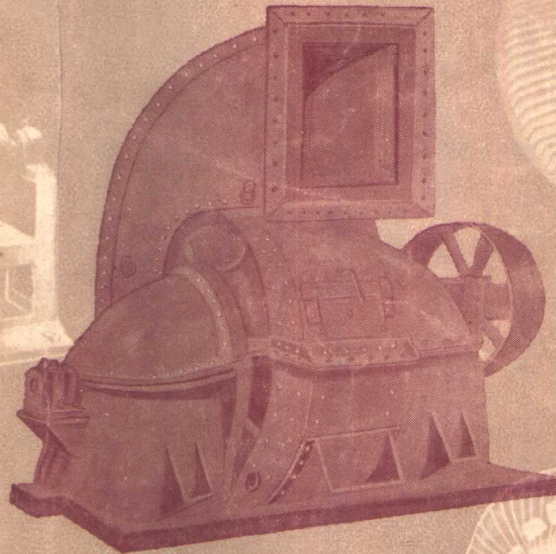


# 礦井扇風機裝置

苏联 佛·納·伏龍寧著



煤炭工業出版社

# 陳井扇風机装置

陳井扇風機裝置



陳井扇風機裝置

# 礦井扇風机裝置

苏联工学博士 佛·納·伏龍寧著  
科学院院士 阿·阿·施康欽斯基校

黃錫橋譯

煤炭工業出版社

## 內容提要

本書研究有关使用扇風机作为礦井通風的一些实际与理論問題，分析有关選擇和运转扇風机的各种合理方法，並制定出新的金屬礦井和礦井扇風机的选择标准。

本書供設計工程师和科学工作者参考用，也可供生產工程师在实际工作中参考用。

## ШАХТНЫЕ ВЕНТИЛЯТОРНЫЕ УСТАНОВКИ

苏联 B. N. ВОРОНИН著  
A. A. СКОЧИНСКОГО校

根据苏联國立煤礦技術書籍出版社(УГЛЕТЕХИЗДАТ)  
1953年莫斯科第一版翻譯

326

## 礦井扇風机裝置

黃錫橋譯

\*

煤炭工業出版社出版 (地址：北京東長安街煤炭工業部)

北京市發售出版物許可證字第034号

北京市印刷一厂排印 新華書店發行

\*

开本78.7×109.2公分 \* 印張5整 \* 字数104,000

1956年5月北京第1版第1次印刷

统一書号：15035·203 印数：1—4,100册 定价：(10)0.95元

# 目 錄

原 序.....	2
第一章 磺井通風網路特性曲綫.....	4
第二章 扇風机特性曲綫.....	8
第三章 苏联科学院採礦研究所(ИГД АН)無因次运轉特 性曲綫.....	14
*第四章 裝有擴散器的扇風机的工作.....	19
第五章 磺井風量和礦井通風網路阻力隨時間變遷而發生 的变动.....	45
第六章 用單台扇風机工作时扇風机的选择.....	57
第七章 並联扇風机的选择和運轉.....	88
第八章 串联扇風机的选择和運轉.....	112
第九章 井下扇風机的选择和運轉.....	129
結 語.....	143

## 原序

聯共第十九次代表大會的指示中規定，1955年的採煤量要比1950年的採煤量約增加43%左右。

與實現這一任務有密切關係的，是解決有關創造礦井工作安全條件、保護礦工生命和健康的一連串實際問題。

到目前為止，礦井通風仍然是消除生產毒害物（瓦斯、礦塵、高溫）的最有效方法。要使通風的效果良好，必須正確地設計和有效地進行通風。

礦井通風是否可靠和是否經濟，主要是決定於能否正確地選擇和合理地運轉礦井扇風機。

有關扇風機的選擇和運轉問題，是礦井通風在理論上和實際上的基本問題之一。如果沒有關於決定通風網路基本參數（通風網路阻力和礦井風量）隨時間變化而發生變動的條件和定律方面的知識，就不可能解決這些問題。

有關礦井扇風機的選擇和運轉問題已經在許多書籍中研究過，研究這些問題有以下三方面：

1. 把扇風機當作一種透平機來研究其空氣動力學特性和運轉特性。

2. 研究通風網路的基本參數——阻力和風量、阻力和風量隨時間變遷而發生的變動程度、以及風量分配定律。

3. 研究接入礦井通風網路內的單台扇風機或數台扇風機的工作。

本書的研究目的，是要說明一些有關選擇和運轉接入礦井通風網路內的扇風機的理論和實際問題。

到目前為止，許多有關礦井扇風機的選擇和運轉的主要問題

題還沒有得到解決，或者只是利用許多假定來把它們很近似地解决，这些假定有时会使最終結果發生極大偏差。这些尚未得到充分解决的主要問題有下列几个：

- a)裝有擴散器的扇風机工作；
- 6)扇風机叶輪的最適宜直徑(根据所用的風量調整方法而定)；
- b)当有通風力作用时單台扇風机的工作穩定性及穩定准则；
- c)並联扇風机和串联扇風机的工作穩定性及穩定准则；
- d)並联扇風机和串联扇風机工作的合理分析方法，以及其他許多从扇風机的运转和选择观点來看也是相当重要的問題。

分析有关扇風机的选择和运转的各种合理方法，是根据由作者所研究得出的 ИГД АН<sup>①</sup> 無因次运转特性曲綫來進行的。这种特性曲綫虽然有某些缺点，但同时也有許多能够簡化扇風机特性曲綫計算的优点。

本書决不是奢望要解决一切有关扇風机的选择和运转問題，可是，本書却研究了一些最重要的实际情况，而且还給予这些情况適當的数学和物理分析方法。

---

<sup>①</sup> ИГД АН 是苏联科学院採礦研究所的簡寫。——譯者

# 第一章 矿井通风网路特性曲线

## 矿井主要通风网路

矿井通风网路的阻力随着巷道尺寸(横断面積 $S$ 和長度 $L$ )、空气流动速度、空气粘度和巷道的粗糙程度的不同而發生变化。空气粘度和其流动速度僅在雷諾数  $Re$ (число Рейнольдса)很小时才对阻力有影响。在粗糙管道內液体流动情况的詳細研究中指出，稳定的乱流二次方定律是在下列条件下开始的，即

$$Re > \frac{191.2 \times d}{l \times \sqrt{\lambda}}, \quad (1,1)$$

式中  $d$ ——粗糙管道直徑;

$l$ ——粗糙表面的凸出部分高度;

$\lambda$ ——阻力系数。

为了更便利於矿井条件，可把上式改寫成下列形式：

$$Re > 3100 \frac{R_n}{\sqrt{\alpha_x}}, \quad (1,2)$$

$$R_n = \frac{4S}{P \times d_{ok}}, \quad (1,3)$$

式中  $R_n$ ——支柱的橫徑比例;

$S$ ——巷道的横断面積(平方公尺);

$P$ ——巷道周緣(公尺);

$d_{ok}$ ——棚子尺寸(公尺);

$\alpha_x$ ——空气动力阻力系数，以万分率表示。

根据公式(1,2)中得出結論，在矿井条件下， $Re > 10000 - 30000$ 时，空气应按乱流二次方定律在巷道內流动。

在阿·阿·斯康欽斯基院士領導下，曾在以約·維·斯大

林命名的莫斯科礦業學院礦井通風實驗室內所進行的實驗證明，由公式(1,2)計算得出的  $Re$  值是接近實際的，雖然在作這些實驗時的表面粗糙狀況（用圓木搭的不完全式木棚和完全式木棚）與求得公式(1,1)時所用的管道表面粗糙狀況有所不同。很明顯， $Re$  與風流的幾何參數和空氣動力參數間的關係是很複雜的。

由於空氣在井下巷道內的流動速度，其  $Re$  的平均值要遠遠超過上述數值，所以在礦井內，大部分空氣是按照亂流二次方定律流動的。

對礦井空氣動力狀態所作的研究指出，通風網路負壓與所輸送風量間的關係，可用下式表示：

$$h = RQ^2 + BQ + C, \quad (1,4)$$

式中  $R$ 、 $B$  和  $C$  在這一段較短時期內為常數。這些常數不但隨礦井不同的開採時期而異，而且也隨着季節的變化而不同。

在穩定的純亂流狀態下，礦井主要通風網路的負壓為：

$$h = RQ^2, \quad (1,5)$$

式中  $R$ ——通風網路內由摩擦而引起的空氣動力阻力。

由實驗得出的  $h$  和  $Q$  的關係式(1,4)與公式(1,5)的區別，是公式(1,5)內多一項

$$BQ + C. \quad (1,6)$$

如採空的充填區或崩落區不漏風或漏風量很小時，(1,6)這項就表示在不同季節的自然通風影響  $He$ 。這是因為：雖然關於空氣沿各單獨巷道的單純層狀流動（此時  $h$  與  $Q$  成比例）的假設無可否認，但是由於在層狀流動狀態時空氣的流動阻力很小，它在整個礦井負壓公式中未必是一個重大的數值。因此，公式(1,4)可以改寫成下列形式：

$$h = RQ^2 + He, \quad (1,7)$$

式中

$$He = BQ + C. \quad (1,8)$$

由上述論斷得出結論，礦井的自然通風是隨  $Q$  不同而按一次方定律變動的。如  $Q$  的變動範圍較小時，則在井下條件下通風狀態的自然通風可以當作常數。

因此，礦井主要通風網路的特性曲線可用下式表示：

$$H = RQ^2 + He, \quad (1,9)$$

式中  $He$ ——在一般情況下為一隨輸入礦井風量的不同而變化的數值。

如果從主要平巷經過採空區漏入通風巷道中的漏風量很大時，則採空區的空氣動力特性曲線對於全礦井的主要通風網路特性曲線是有影響的。

透過的採空充填區的空氣流動定律是很複雜的，因為其空氣動力阻力是隨時間、地點以及對  $Q$  的指數有影響的空氣動力學狀態不同而有很大變化的。

但有時透過採空的充填區或崩落區的空氣流動定律近似於二次方定律，使問題可以達到某種程度上的簡化。因此，整個礦井通風網路的特性曲線可以與沒有漏風時的形式相同。在這種情況下，通風網路的阻力  $R$  不但隨巷道空氣動力參數(表面相對粗糙度、橫斷面積、長度)的不同而變化，而且還隨採空區空氣動力參數(多孔率、橫斷面積、長度)的各異而不同。用現代通風設計法時，是引用漏風系數  $p$  來計算採空區空氣動力參數的；同時，還假定空氣透過採空的充填區或崩落區時是按照阻力二次方定律流動的。

### 局部通風網路

局部通風網路主要是由風管構成。當空氣在平滑的風管內流動時， $h$  與  $Q$  之間的關係要用比較複雜的方程式來表示。在礦井的條件下，實際上按空氣動力學來講是沒有平滑風管的；

因为礦井內的風管会迅速生鏽，而生了鏽的管子，表面就很粗糙了。因此，如  $Re$  的值大於由公式(1,2)所求得的  $Re$  时，则空气动力阻力  $R$  的系数由於空气的粘度不同而發生的变动很小，而主要是随風管的表面相对粗糙度不同而变化的。这样，在实际計算中，就可以認为空气在風管內是按照二次方定律流动的，也就是說，風管負压与所流过的風量間的关系是：

$$h = RQ^2, \quad (1,10)$$

式中  $R$ ——風管的空气动力阻力。

在分析風管工作时，由於各段風管之間联接得不緊密以及管壁透風而引起的漏風有着很大意义。關於這一個問題，在我們的一部著作❶里曾作了詳細的研究，这里我們僅僅引述有关風管特性曲線的主要結果。从上述研究得出結論，由於各段風管之間联接不緊密或由於風管制作材料透風而有漏風的管道，其負压系根据下式計算：

$$h = R \cdot p Q_0^2, \quad (1,11)$$

式中  $R$ ——風管的空气动力阻力；

$p$ ——漏風或風量損失系数，等於

$$p = \frac{Q_B}{Q_0},$$

式中  $Q_B$ ——扇風机所輸送的風量；

$Q_0$ ——到达工作面的風量。

公式(1,11)可以改寫成下列形式：

$$h = R \cdot Q_{cr}^2, \quad (1,12)$$

並且，

$$Q_{cr} = \sqrt{p Q_0^2} = \sqrt{Q_B Q_0}, \quad (1,13)$$

式中  $Q_{cr}$ ——到达工作面風量  $Q_0$  与扇風机所輸送 風量  $Q_B$  兩者的几何平均数。

❶佛·納·伏龍寧著“礦井大气-瓦斯动力学原理”，苏联國立煤礦技术書籍出版社，莫斯科，1951年版。

## 第二章 扇風机特性曲綫

現时，扇風机的特性曲綫可分下列三种主要形式：

a)以  $Q$  和  $H$  为坐标的扇風机特性曲綫 ( $Q$ ——扇風机所輸送的風量， $H$ ——負压)。

b)無因次特性曲綫。

c)統一特性曲綫。

1. 以  $Q$  和  $H$  为坐标的扇風机特性曲綫，是最通用的特性曲綫。圖 1 表示这种特性曲綫的一般形状。

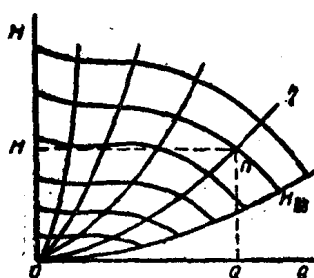


圖 1 以  $Q$  及  $H$  为坐标的各种不同轉数时的扇風机特性曲綫

由坐标( $Q$  和  $H$ )的原点出发的各抛物綫是等效率綫；而曲綫  $n_1$ 、 $n_2$ 、 $n_3$  等則是扇風机叶輪的等轉數綫。試驗扇風机时，用这些特性曲綫來分析扇風机的基本性能是很方便的。

2. 無因次特性曲綫有四种主要型式。

a) 在採礦工業中最通用的無因次特性曲綫，是以下列三种無因次参数为基础的：

風量系数

$$\delta = \frac{Q}{U \left[ \frac{D}{2} \right]^2}. \quad (2,1)$$

压力系数

$$\mu = \frac{H}{\rho U^2}. \quad (2,2)$$

相应等積孔系数

$$\varphi = \frac{\delta}{V \mu}; \quad (2,3)$$

式中  $Q$ ——扇風机的風量(立方公尺/秒);

$U$ ——扇風机叶輪周速;

$D$ ——扇風机叶輪直徑;

$H$ ——扇風机所發揮的压力;

$\rho$ ——空气密度。

圖 2 表示以这些参数为坐标的扇風机無因次特性曲綫的一般形状。

6) ЦАГИ① 無因次特性曲綫。現时，在这些特性曲綫內，已表示出中央流体动力学研究所獲得的有关扇風机的全部實驗材料。

这些特性曲綫是以下列各种無因次参数为基础的:

$$\overline{Q} = \frac{Q \varphi}{\pi R^2 U}; \quad (2,4)$$

$$\overline{H} = \frac{H}{\rho U^2}; \quad (2,5)$$

$$\overline{N} = \frac{\overline{Q} \overline{H}}{75 \eta}, \quad (2,6)$$

式中  $\overline{Q}$ 、 $\overline{H}$  和  $\overline{N}$ ——分别为風量、压力和功率的無因次参数;

$\eta$ ——扇風机效率。

其他各字母的意义与前述相同。

圖 3 是以 ЦАГИ 参数为坐标  
的扇風机無因次特性曲綫的一般

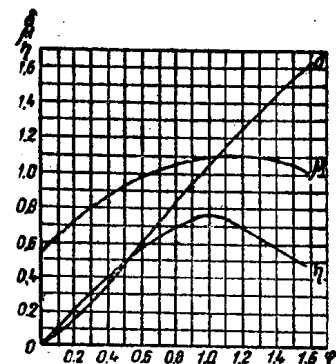


圖 2 离心式扇風机的無因次特性曲綫

① ЦАГИ 中央流体动力学研究所的簡寫。——譯者

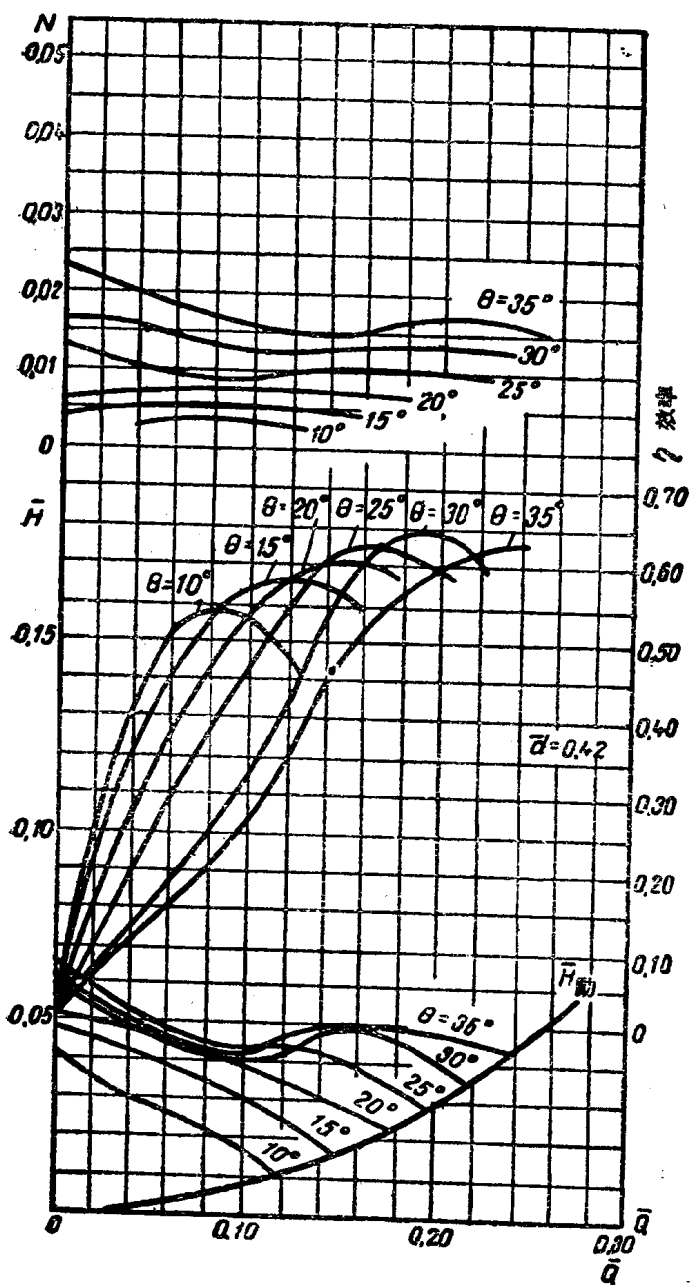


圖 3 以 ЦАГИ 參數為坐标的扇風機聚總無因次特性曲線

形状。

b) 百分率無因次特性曲綫。對於这种特性曲綫，是採取某種任意工作制度下的風量、壓力、功率和效率与符合最高效率的最有利工作制度下的風量、壓力、功率和效率的比例百分率來作为基本参数的。

在这种情况下，各種無因次参数的值如下：

風量系数

$$Q\% = \frac{Q}{Q_0} \cdot 100; \quad (2,7)$$

压力系数

$$H\% = \frac{H}{H_0} \cdot 100; \quad (2,8)$$

功率系数

$$N\% = \frac{N}{N_0} \cdot 100; \quad (2,9)$$

相应的效率

$$\eta\% = \frac{\eta}{\eta_0} \cdot 100. \quad (2,10)$$

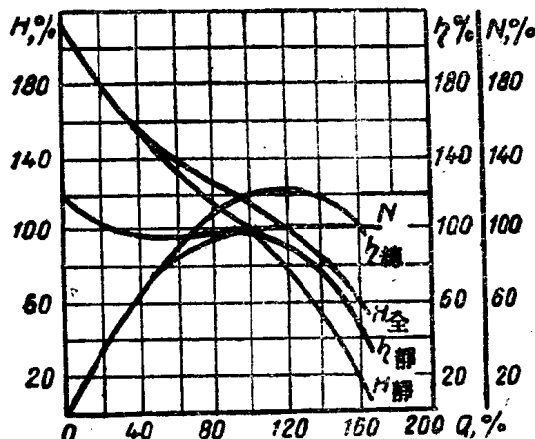


圖 4 軸流式扇风机的百分率無因次特性曲綫

式中  $Q$ 、 $H$ 、 $N$  和  $\eta$ ——在某种任意工作制度下的扇風機風量、  
壓力、功率和效率；

$Q_0$ 、 $H_0$ 、 $N_0$  和  $\eta_0$ ——在最大靜效率時的扇風機風量、壓力、  
功率和效率。

圖 4 是以上述參數為坐标的百分率無因次特性曲線的一般  
形狀。

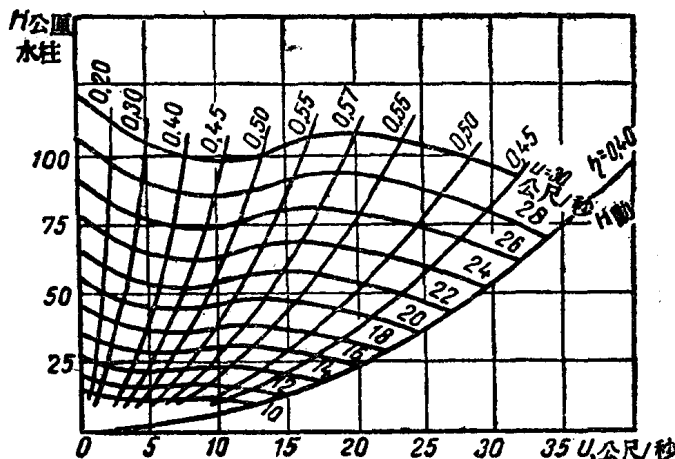


圖 5 一組離心式扇風機的統一特性曲線

r) 扇風機的統一特  
性曲線，是繪制於  $H$  和  
 $V_1$  坐標內的 ( $V_1$ ——扇  
風機出風口的風速)，  
並且

$$V_1 = \frac{Q}{F_1},$$

式中  $F_1$ ——扇風機出  
風口斷面積。

這種特性曲線居於  
 $Q$ 、 $H$  坐標特性曲線與

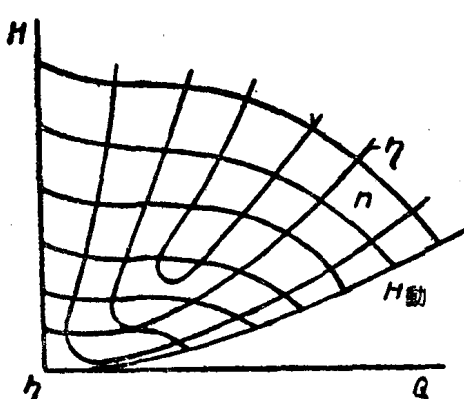


圖 6 當有機械損失時，扇風機在各種  
不同轉數時的  $Q$ 、 $H$  坐標特性曲線

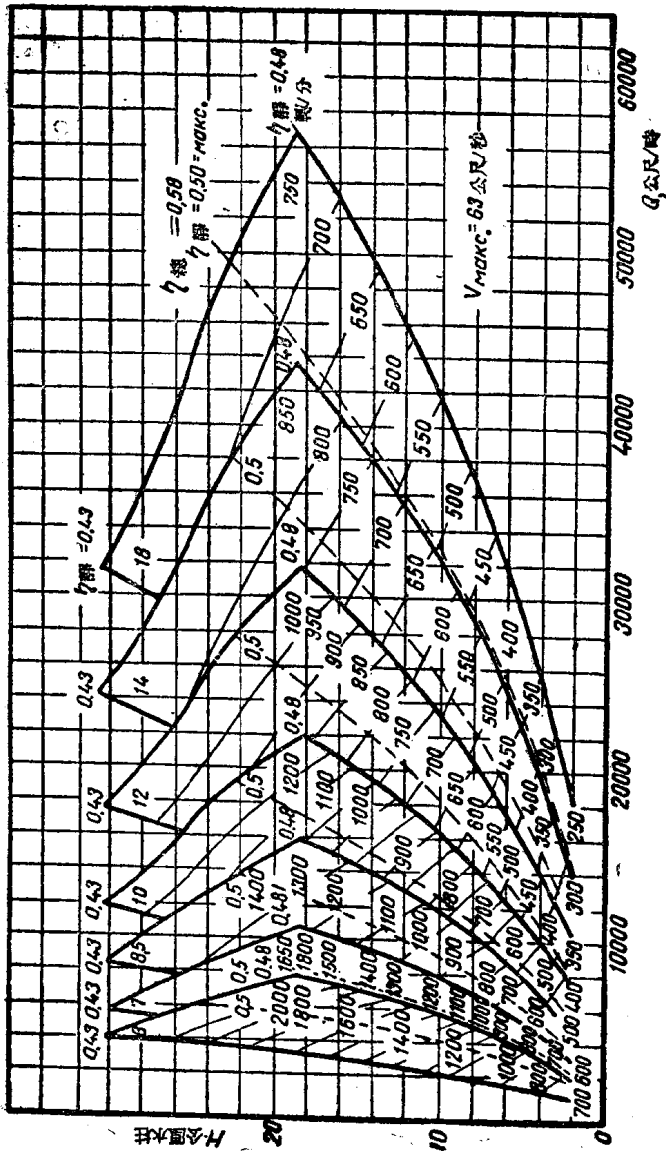


圖 7 一組扇風機的  $Q$ 、 $H$  坐標特性曲線